

УДК 629.7.054

*Розв'язується задача лінійно-пружної взаємодії підвісу гіроскопа у вигляді двох коаксіальних циліндрів із зовнішнім хвильовим збуренням. Аналітично пояснюється природа виникнення переміщень поверхні внаслідок дифракційних ефектів*

*Ключові слова: підвіс гіроскопа, оболонка, радіальні переміщення*

*Решается задача линейно-упругого взаимодействия подвеса гироскопа в виде двух коаксиальных цилиндров с внешним волновым воздействием. Аналитически объясняется природа возникновения перемещений поверхности вследствие дифракционных эффектов*

*Ключевые слова: подвес гироскопа, оболочка, радиальные перемещения*

*The problem of linearly-resilient interaction of suspension of gyroscope is decided as two coaxial cylinders with external wave influence. Nature of origin moving of surface is analytically explained because of diffraction effects*

*Keywords: suspension of gyroscope, shell, radial moving*

# ДИФРАКЦИЯ ВОЛН НА ПОДВЕСЕ ГИРОСКОПА

**Н. В. Гнатейко**

Кандидат технических наук, доцент

Кафедра теоретической механики

Национальный технический университет Украины

«Киевский политехнический институт»

пр-т Победы, 37, г. Киев, Украина, 03056

Контактный тел.: (044) 454-94-51

E-mail: karachun1@gala.net

## 1. Введение

Исследования относятся к области прикладной механики и описывают природу возмущенного движения одной из модификаций подвеса гироскопа – в виде двух цилиндров, причем наружный имеет продольную щель и является упруго податливым, а внутренний представляется абсолютно твердым телом. Дифракционные явления приводят к нарушению динамического состояния поверхности и, как следствие, к появлению волновых процессов, существенно влияющих на погрешности измерений.

Если принять во внимание тот факт, что летательный аппарат в рамках Полетного Задания может двигаться по различным траекториям с существенным кинематическим и силовым воздействием со стороны фюзеляжа, то упруго-податливая поверхность подвеса может привести к возникновению Эйлеровых сил инерции, воспринимаемых приборами инерциальной навигации как входной сигнал.

Таким образом, описание природы изучаемого явления позволит проанализировать ситуацию и принять меры по устранению дополнительных погрешностей.

## 2. Анализ состояния проблемы и постановка задачи исследований

Приборы инерциальной навигации, сочетая в себе массу достоинств, основным из которых является

автономность, как оказалось, подвержены влиянию внешних воздействий различного характера [1]. Достаточно длительная история совершенствования этих приборов дала жизнь многим техническим решениям, в том числе и автокомпенсационным, позволившим радикально повлиять на повышение точности измерений [2]. Вместе с тем, стремительное развитие ракетно-космической техники привело к тому, что многие приборы в режиме эксплуатационного использования летательных аппаратов ухудшили свои характеристики. Речь идет о влиянии проникающего акустического излучения высокой интенсивности на элементы подвеса гироскопа и особенно на чувствительные элементы систем коррекции [3].

Целью проводимых исследований является описание природы упругого взаимодействия подвеса гироскопа с внешним волновым воздействием высокого уровня.

## 3. Исходные предпосылки и построение системы обыкновенных дифференциальных уравнений

Рассмотрим прохождение плоской звуковой волны через систему двух коаксиальных круговых цилиндров. Внутренний считаем бесконечной по протяженности абсолютно твердой круговой оболочкой, а наружный – упругой оболочкой, которая имеет со стороны падающей внешней волны давления окно длины  $2L$  (рис. 1). Оболочки соединены упругой связью с коэффициентом жесткости  $c_1$ .

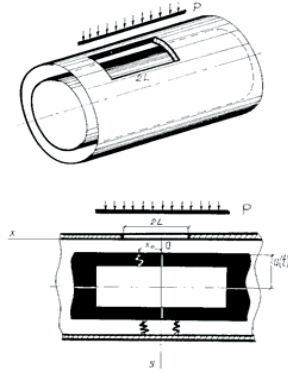


Рис. 1. Дифракция звука на системе двух коаксиальных цилиндров

Волна падает со стороны окна длиной 2L

Уравнения наружной оболочки при нормальном падении звуковой волны имеют вид:

$$\omega^2 \rho V + \frac{\partial^2 V}{\partial \beta^2} + \frac{1-\sigma}{2} \frac{\partial^2 V}{\partial x^2} + \frac{\partial W}{\partial \beta} = 0;$$

$$(\omega^2 \rho + 1) \cdot W + \frac{\partial V}{\partial \beta} + c^2 \left( \frac{1}{r^4} \frac{\partial^4 W}{\partial \beta^4} + \frac{2}{r^2} \frac{\partial^4 W}{\partial \beta^2 \partial x^2} + \frac{\partial^4 W}{\partial x^4} \right) =$$

$$= f(x, x_0, \beta, t) \delta(x - x_0) + P(x, \beta, t) \stackrel{\text{def}}{=} F(x, x_0, \beta, t),$$

где  $V, W$  - соответственно тангенциальные и радиальные перемещения элементов поверхности под действием падающей волны;  $-\infty < x < +\infty$ ;  $0 \leq \beta \leq 2\pi$ ; все коэффициенты постоянные по величине.

Носителем функции  $F(x, x_0, \beta, t)$  является сегмент  $-L \leq x \leq L$ , из чего следует, что  $-L < x < L$ , а также  $F(x, x_0, \beta, t) = 0, \forall x, |x| > L$ .

В уравнениях (1) функция

$$f(x, x_0, \beta, t) = c_1 [U(x, x_0, \beta, t) - W(x, x_0, \beta, t)]$$

есть ни что иное, как решение задачи Коши, выполненное в четвертой главе. Поэтому, если будут определены радиальные перемещения  $W(x, x_0, \beta, t)$ , то и поступательное перемещение внутренней оболочки  $U(x, x_0, \beta, t)$  также станет известным.

Таким образом, будем отыскивать решения  $\{V, W\}$ , ограниченные при  $x \rightarrow \pm\infty$ . Вместе с тем представляет интерес и более узкая задача – нахождение решений  $\{V, W\}$ , которые обращаются в нули при  $x \rightarrow \pm\infty$  вместе со всеми производными.

Представим известную функцию  $F(x, x_0, \beta, t)$ , а также искомые функции  $V(x, x_0, \beta, t)$  и  $W(x, x_0, \beta, t)$  в форме тригонометрических рядов Фурье по переменной  $\beta$  ( $0 \leq \beta \leq 2\pi$ ):

$$F(x, x_0, \beta, t) = \sum_{m=-\infty}^{+\infty} F_m(x) \exp(im\beta);$$

$$V(x, x_0, \beta, t) = \sum_{m=-\infty}^{+\infty} V_m(x) \exp(im\beta);$$

$$W(x, x_0, \beta, t) = \sum_{m=-\infty}^{+\infty} W_m(x) \exp(im\beta).$$

Коэффициенты Фурье этих уравнений (их комплексные амплитуды) зависят и от других параметров системы (1). Но, чтобы избежать громоздкости записи, это не отражено в обозначениях.

Подстановка соотношений (2) в уравнения (1) приводит к системе двух обыкновенных дифференциальных уравнений относительно переменных  $V_m(x)$  и  $W_m(x)$ :

$$(\omega^2 \rho - m^2) \cdot V_m(x) + \frac{1-\sigma}{2} V_m''(x) + im W_m(x) = 0;$$

$$im V_m(x) + \left( \omega^2 \rho + 1 + \frac{c^2 m^4}{r^4} \right) W_m(x) -$$

$$- \frac{2c^2 m^2}{r^2} W_m''(x) + c^2 W_m^{IV}(x) = F_m(x),$$

$$m = 0, \pm 1, \pm 2, \dots$$

Интегрирование исходных уравнений при  $m = 0$ .

При  $m = 0$  система уравнений (3) распадается на два независимых уравнения –

$$\frac{1-\sigma}{2} V_0''(x) + \omega^2 \rho V_0(x) = 0;$$

$$c^2 W_0^{IV} + (\omega^2 \rho + 1) W_0(x) = F_0(x).$$

Ведем обозначения:

$$\frac{2\omega^2 \rho}{1-\sigma} = \lambda^2; \quad \frac{\omega^2 \rho + 1}{c^2} = 4\mu^4.$$

Тогда –

$$V_0''(x) + \lambda^2 V_0(x) = 0;$$

$$W_0^{IV}(x) + 4\mu^4 W_0(x) = c^{-2} F_0(x)$$

и решение первого из уравнений этой системы имеет вид –

$$V_0(x) = A_0 \cos(\lambda x) + B_0 \sin(\lambda x),$$

то есть ограничено при всех значениях  $x \rightarrow \pm\infty$ . Если поставить задачу  $V_0(x) \rightarrow 0, x \rightarrow \pm\infty$ , то получим:

$$A_0 = B_0 = 0 \text{ и } V_0(x) \equiv 0.$$

Чтобы выделить какое-нибудь другое единственное решение достаточно задать значения функций  $V_0(x')$  и  $V_0'(x')$  в какой-нибудь точке  $x'$  оси  $-\infty < x < +\infty$ .

Общее решение второго уравнения системы (5) запишем по значениям корней его характеристического уравнения

$$k^4 + 4\mu^4 = 0.$$

Тогда

$$k_{1,2} = \mu(1 \pm i); \quad k_{3,4} = -\mu(1 \mp i)$$

и

$$W_{01}(x) = \exp(\mu x) (a_1 \cos \mu x + a_2 \sin \mu x) + \exp(-\mu x) (a_3 \cos \mu x + a_4 \sin \mu x)$$

Решение однородного уравнения

$$W_0^{IV}(x) + 4\mu^4 W_0(x) = 0$$

обозначим через  $g(x)$  и будем искать как реакцию динамической системы на единичный импульс при таких начальных условиях:

$$g(0) = g'(0) = g''(0) = 0, \quad g'''(0) = 1. \tag{10}$$

Для удобства решение запишем в комплексной форме –

$$g(x) = C_1 \exp(k_1 x) + C_2 \exp(k_2 x) + C_3 \exp(k_3 x) + C_4 \exp(k_4 x), \tag{11}$$

что приводит к следующей системе четырех линейных уравнений относительно постоянных  $C_i$ :

$$\begin{aligned} C_1 + C_2 + C_3 + C_4 &= 0; \\ k_1 C_1 + k_2 C_2 + k_3 C_3 + k_4 C_4 &= 0; \\ k_1^2 C_1 + k_2^2 C_2 + k_3^2 C_3 + k_4^2 C_4 &= 0; \\ k_1^3 C_1 + k_2^3 C_2 + k_3^3 C_3 + k_4^3 C_4 &= 1. \end{aligned} \tag{12}$$

Главный определитель системы (определитель Вандермонда) имеет вид:

$$\begin{aligned} \Delta &= \begin{vmatrix} 1 & 1 & 1 & 1 \\ k_1 & k_2 & k_3 & k_4 \\ k_1^2 & k_2^2 & k_3^2 & k_4^2 \\ k_1^3 & k_2^3 & k_3^3 & k_4^3 \end{vmatrix} = \\ &= (k_2 - k_1)(k_3 - k_1)(k_4 - k_1)(k_3 - k_2)(k_4 - k_2)(k_4 - k_3). \end{aligned}$$

Тогда частные определители запишутся следующим образом –

$$\Delta_1 = \begin{vmatrix} 0 & 1 & 1 & 1 \\ 0 & k_2 & k_3 & k_4 \\ 0 & k_2^2 & k_3^2 & k_4^2 \\ 1 & k_2^3 & k_3^3 & k_4^3 \end{vmatrix} = -(k_3 - k_2)(k_4 - k_2)(k_4 - k_3);$$

$$\Delta_2 = \begin{vmatrix} 1 & 0 & 1 & 1 \\ k_1 & 0 & k_3 & k_4 \\ k_1^2 & 0 & k_3^2 & k_4^2 \\ k_1^3 & 1 & k_3^3 & k_4^3 \end{vmatrix} = (k_3 - k_1)(k_4 - k_1)(k_4 - k_3);$$

$$\Delta_3 = \begin{vmatrix} 1 & 1 & 0 & 1 \\ k_1 & k_2 & 0 & k_4 \\ k_1^2 & k_2^2 & 0 & k_4^2 \\ k_1^3 & k_2^3 & 1 & k_4^3 \end{vmatrix} = -(k_2 - k_1)(k_4 - k_1)(k_4 - k_2);$$

$$\Delta_4 = \begin{vmatrix} 1 & 1 & 1 & 0 \\ k_1 & k_2 & k_3 & 0 \\ k_1^2 & k_2^2 & k_3^2 & 0 \\ k_1^3 & k_2^3 & k_3^3 & 1 \end{vmatrix} = (k_2 - k_1)(k_3 - k_1)(k_3 - k_2),$$

что позволяет вычислить произвольные постоянные:

$$\begin{aligned} C_1 &= \frac{\Delta_1}{\Delta} = \frac{1}{8\mu^3 i(1+i)}; \quad C_2 = \frac{\Delta_2}{\Delta} = -\frac{1}{8\mu^3 i(1-i)}; \\ C_3 &= \frac{\Delta_3}{\Delta} = \frac{1}{8\mu^3 i(1-i)}; \quad C_4 = \frac{\Delta_4}{\Delta} = -\frac{1}{8\mu^3 i(1+i)}. \end{aligned}$$

Таким образом, решение однородного уравнения можно записать в виде –

$$g(x) = \frac{1}{8\mu^3 i} \left\{ \frac{\exp[\mu x(1+i)]}{1+i} - \frac{\exp[-\mu x(1+i)]}{1+i} + \frac{\exp[-\mu x(1-i)]}{1-i} - \frac{\exp[\mu x(1-i)]}{1-i} \right\}. \tag{13}$$

Нетрудно проверить соблюдение условий (10):

$$\begin{aligned} g(0) &= 0; \quad g'(0) = 0; \quad g''(0) = 0, \\ g'''(0) &= \frac{1}{8i} [(1+i)^2 + (1+i)^2 - (1-i)^2 - (1-i)^2] = 1. \end{aligned}$$

Для удобства дальнейших вычислений, выражению (13) придадим вещественную форму –

$$\begin{aligned} g(x) &= \frac{1}{16\mu^3 i} \{ \exp(\mu x) [(1-i)\exp(i\mu x) - (1+i)\exp(-i\mu x)] + \\ &+ \exp(-\mu x) [(1+i)\exp(i\mu x) - (1-i)\exp(-i\mu x)] \} = \\ &= \frac{1}{8\mu^3} [\exp(\mu x)(\sin \mu x - \cos \mu x) + \exp(-\mu x)(\sin \mu x + \cos \mu x)]. \end{aligned} \tag{14}$$

Частное решение  $W_{02}(x)$  второго уравнения системы (5) построим в виде –

$$\begin{aligned} W_{02}(x) &= c^{-2} \int_0^x F_0(\xi) g(x-\xi) d\xi = \\ &= \frac{1}{8\mu^3 c^2} \exp(\mu x) \int_0^x \exp(-\mu \xi) F_0(\xi) [\sin \mu(x-\xi) - \cos \mu(x-\xi)] d\xi + \\ &+ \frac{1}{8\mu^3 c^2} \exp(-\mu x) \int_0^x \exp(\mu \xi) F_0(\xi) [\sin \mu(x-\xi) + \cos \mu(x-\xi)] d\xi = \\ &= -\frac{1}{8\mu^3 c^2} \exp(\mu x) \left\{ (\cos \mu x) \int_0^x \exp(-\mu \xi) F_0(\xi) (\sin \mu \xi + \cos \mu \xi) d\xi + \right. \\ &\quad \left. + (\sin \mu x) \int_0^x \exp(-\mu \xi) F_0(\xi) (\sin \mu \xi - \cos \mu \xi) d\xi \right\} - \\ &- \frac{1}{8\mu^3 c^2} \exp(-\mu x) \left\{ (\cos \mu x) \int_0^x \exp(\mu \xi) F_0(\xi) (\sin \mu \xi - \cos \mu \xi) d\xi - \right. \\ &\quad \left. - (\sin \mu x) \int_0^x \exp(\mu \xi) F_0(\xi) (\sin \mu \xi + \cos \mu \xi) d\xi \right\}. \end{aligned} \tag{15}$$

Введем обозначения:

$$\begin{aligned} \frac{1}{4\sqrt{2}\mu^3 c^2} \int_0^x \exp(-\mu \xi) F_0(\xi) \sin(\mu \xi + \frac{\pi}{4}) d\xi &= J_1(x); \\ \frac{1}{4\sqrt{2}\mu^3 c^2} \int_0^x \exp(-\mu \xi) F_0(\xi) \sin(\mu \xi - \frac{\pi}{4}) d\xi &= J_2(x); \\ \frac{1}{4\sqrt{2}\mu^3 c^2} \int_0^x \exp(\mu \xi) F_0(\xi) \sin(\mu \xi - \frac{\pi}{4}) d\xi &= J_3(x); \\ -\frac{1}{4\sqrt{2}\mu^3 c^2} \int_0^x \exp(\mu \xi) F_0(\xi) \sin(\mu \xi + \frac{\pi}{4}) d\xi &= J_4(x). \end{aligned} \tag{16}$$

Тогда выражение (15) примет вид –

$$\begin{aligned} W_{02}(x) &= -\exp(\mu x) [(\cos \mu x) J_1(x) + (\sin \mu x) J_2(x)] - \\ &- \exp(-\mu x) [(\cos \mu x) J_3(x) + (\sin \mu x) J_4(x)]. \end{aligned} \tag{17}$$

С учетом (9) полное решение второго уравнения системы (5) будет таким:

$$W_0(x) = W_{01}(x) + W_{02}(x) = -\exp(\mu x) \{ [a_1 - J_1(x)](\cos \mu x) + [a_2 - J_2(x)](\sin \mu x) \} + \exp(-\mu x) \{ [a_3 - J_3(x)](\cos \mu x) + [a_4 - J_4(x)](\sin \mu x) \}. \quad (18)$$

Решения ищем ограниченные при  $x \rightarrow \pm\infty$ , то есть на краях бесконечной оболочки. Тогда, учитывая, что носитель функции  $F(x)$  конечен, то при  $|x| > L$  функция  $F(x)$  будет равна нулю, то есть

$$F(x) = 0, \text{ если } |x| > L. \quad (19)$$

Следует отметить, что

$$J_1(x) = \text{const} = B_1; \quad J_2(x) = \text{const} = B_2, \text{ если } x > L; \quad (20)$$

$$J_3(x) = \text{const} = B_3; \quad J_4(x) = \text{const} = B_4, \text{ если } x < -L \quad (21)$$

Тогда выражение (18), с учетом соотношений (20) и (21), преобразуется:

$$W_0(x) = \exp(\mu x) \{ [B_1 - J_1(x)] \cos \mu x + [B_2 - J_2(x)] \sin \mu x \} + \exp(-\mu x) \{ [B_3 - J_3(x)] \cos \mu x + [B_4 - J_4(x)] \sin \mu x \} = \frac{1}{4\sqrt{2}\mu^3 c^2} \exp(\mu x) \left\{ (\cos \mu x) \int_x^L \exp(-\mu \xi) F_0(\xi) \sin(\mu \xi + \frac{\pi}{4}) d\xi + (\sin \mu x) \int_x^L \exp(-\mu \xi) F_0(\xi) \sin(\mu \xi - \frac{\pi}{4}) d\xi \right\} - b = \text{colon}(b_1 \quad b_2 \quad b_3 \quad b_4 \quad b_5 \quad b_6) + (\sin \mu x) \int_{-L}^x \exp(\mu \xi) F_0(\xi) \sin(\mu \xi + \frac{\pi}{4}) d\xi \quad (22)$$

$$\text{где } \begin{vmatrix} 1 & 1 & 1 & 1 & 1 & 1 \\ \lambda_1 & \lambda_2 & \lambda_3 & \lambda_4 & \lambda_5 & \lambda_6 \\ \lambda_1^2 & \lambda_2^2 & \lambda_3^2 & \lambda_4^2 & \lambda_5^2 & \lambda_6^2 \\ \lambda_1^3 & \lambda_2^3 & \lambda_3^3 & \lambda_4^3 & \lambda_5^3 & \lambda_6^3 \\ \lambda_1^4 & \lambda_2^4 & \lambda_3^4 & \lambda_4^4 & \lambda_5^4 & \lambda_6^4 \\ \lambda_1^5 & \lambda_2^5 & \lambda_3^5 & \lambda_4^5 & \lambda_5^5 & \lambda_6^5 \end{vmatrix} \begin{vmatrix} b_1 \\ b_2 \\ b_3 \\ b_4 \\ b_5 \\ b_6 \end{vmatrix} = \begin{vmatrix} 0 \\ 0 \\ 0 \\ 0 \\ 0 \\ 1 \end{vmatrix}.$$

Уточним поведение построенного решения вне носителя возмущающей силы  $F(x)$ , то есть вне окна, через которое проходит волна давления ( $-L \leq x \leq L$ ). Другими словами, проверим, ограничено ли решение при  $x \rightarrow \pm\infty$ .

Если  $L < x < +\infty$ , то выполняются соотношения:

$$\frac{1}{4\sqrt{2}\mu^3 c^2} \int_x^L \exp(-\mu \xi) F_0(\xi) \sin(\mu \xi \pm \frac{\pi}{4}) d\xi = 0; \quad (23)$$

$$-\frac{1}{4\sqrt{2}\mu^3 c^2} \int_{-L}^x \exp(\mu \xi) F_0(\xi) \sin(\mu \xi - \frac{\pi}{4}) d\xi = -\frac{1}{4\sqrt{2}\mu^3 c^2} \int_{-L}^L \exp(\mu \xi) F_0(\xi) \sin(\mu \xi - \frac{\pi}{4}) d\xi = \text{const} = p_1; \quad (24)$$

$$-\frac{1}{4\sqrt{2}\mu^3 c^2} \int_{-L}^x \exp(\mu \xi) F_0(\xi) \sin(\mu \xi + \frac{\pi}{4}) d\xi =$$

$$= -\frac{1}{4\sqrt{2}\mu^3 c^2} \int_{-L}^L \exp(\mu \xi) F_0(\xi) \sin(\mu \xi + \frac{\pi}{4}) d\xi = \text{const} = p_2. \quad (25)$$

В этом случае

$$W_0(x) = \exp(-\mu x) (p_1 \cos \mu x + p_2 \sin \mu x), \quad L < x < +\infty. \quad (26)$$

Если  $-\infty < x < L$ , то:

$$\frac{1}{4\sqrt{2}\mu^3 c^2} \int_{-L}^x \exp(\mu \xi) F_0(\xi) \sin(\mu \xi \pm \frac{\pi}{4}) d\xi = 0; \quad (27)$$

$$\frac{1}{4\sqrt{2}\mu^3 c^2} \int_x^L \exp(-\mu \xi) F_0(\xi) \sin(\mu \xi + \frac{\pi}{4}) d\xi = \frac{1}{4\sqrt{2}\mu^3 c^2} \int_{-L}^L \exp(-\mu \xi) F_0(\xi) \sin(\mu \xi + \frac{\pi}{4}) d\xi = \text{const} = q_1$$

$$\frac{1}{4\sqrt{2}\mu^3 c^2} \int_x^L \exp(-\mu \xi) F_0(\xi) \sin(\mu \xi - \frac{\pi}{4}) d\xi = \quad (28)$$

$$= \frac{1}{4\sqrt{2}\mu^3 c^2} \int_{-L}^L \exp(-\mu \xi) F_0(\xi) \sin(\mu \xi + \frac{\pi}{4}) d\xi = \text{const} = q_2$$

С учетом сказанного, получаем:

$$W_0(x) = \exp(\mu x) (q_1 \cos \mu x + q_2 \sin \mu x), \quad -\infty < x < -L. \quad (29)$$

Из выражений (27) и (29) следует, что построенное решение (22) экспоненциально стремится к нулю при  $x \rightarrow \pm\infty$  вместе со всеми своими производными по переменной  $\alpha_j = \text{Re} \lambda_j = 0$ . Других решений, кроме (22), ограниченных на всей оси  $-\infty < x < +\infty$ , второе уравнение системы (5) не имеет.

*Интегрирование уравнений при  $m \neq 0$ .*

Из первого уравнения системы (3) имеем:

$$m W_m(x) = i(\omega^2 \rho - m^2) \cdot V_m(x) + i \frac{1-\sigma}{2} V_m''(x);$$

$$m W_m''(x) = i(\omega^2 \rho - m^2) \cdot V_m''(x) + i \frac{1-\sigma}{2} V_m^{IV}(x); \quad (30)$$

$$m W_m^{IV}(x) = i(\omega^2 \rho - m^2) \cdot V_m^{IV}(x) + i \frac{1-\sigma}{2} V_m^{IV}(x).$$

Подставив найденные соотношения (30) во второе уравнение системы (3), получаем:

$$\left[ (\omega^2 \rho - m^2) \left( \omega^2 \rho + 1 + \frac{c^2 m^4}{r^4} \right) + m^2 \right] V_m(x) + \left[ \frac{1-\sigma}{2} \left( \omega^2 \rho + 1 + \frac{c^2 m^4}{r^4} \right) - \frac{2c^2 m^2}{r^2} (\omega^2 \rho - m^2) \right] V_m''(x) + c^2 \left[ (\omega^2 \rho - m^2) - \frac{2m^2}{r^2} (\omega^2 \rho - m^2) \right] V_m^{IV}(x) + c^2 \frac{1-\sigma}{2} V_m^{IV}(x) = -im F_m(x).$$

Введем обозначения:

$$\frac{2}{c^2(1-\sigma)} \left[ (\omega^2 \rho - m^2) \left( \omega^2 \rho + 1 + \frac{c^2 m^4}{r^4} \right) + m^2 \right] = S_{m,1};$$

$$\frac{1}{c^2} \left( \omega^2 \rho + 1 \right) + \frac{m^4}{r^4} - \frac{4m^2}{1-\sigma} (\omega^2 \rho - m^2) = S_{m,2}; \quad (31)$$

$$\frac{2}{1-\sigma}(\omega^2\rho - m^2)\left(1 - \frac{2m^2}{r^2}\right) = S_{m,4};$$

$$\frac{-2mi}{c^2(1-\sigma)}F_m(x) = h_m(x), \quad m = \pm 1, \pm 2, \dots$$

В результате получаем для функции  $V_m(x)$  следующее уравнение шестого порядка с постоянными коэффициентами –

$$S_{m,1}V_m(x) + S_{m,2}V_m''(x) + S_{m,4}V_m^{IV}(x) + V_m^{VI}(x) = h_m(x). \quad (32)$$

Проинтегрировав это уравнение, можно найти  $W_m(x)$  простым дифференцированием решения  $V_m(x)$ , как это указано в первом уравнении системы (3). Поскольку функция  $f(x, x_0, \beta, t)$  найдена ранее в первой главе, отыскать величину  $U(x, x_0, \beta, t)$  можно из уже приведенного соотношения

$$\sum_{j=1}^6 (a_j + b_j p_j) \exp(iv_j x).$$

Найдем решения уравнения (32), ограниченные при  $x \rightarrow \pm\infty$ , опуская в дальнейшем индексы "m".

Уравнению (32) соответствует характеристический полином

$$\lambda^6 + S_4\lambda^4 + S_2\lambda^2 + S_1 = 0, \quad (33)$$

который запишем в виде –

$$z^3 + S_4z^2 + S_2z + S_1 = 0, \quad (34)$$

где  $\lambda^2 = z$ .

Формулы (31) показывают, что коэффициенты уравнений (33), (34) четные относительно m. Поэтому, уравнение (34) может иметь:

- три простых корня;
- один простой и один двукратный корень;
- один трехкратный корень.

В соответствии с этим, уравнение (33) будет иметь:

- шесть простых корней;
- два простых и два двукратных корня;
- два трехкратных корня.

Вначале рассмотрим первый случай, когда все корни уравнения (33)

$$\lambda_j = \alpha_j + iv_j, \quad j = \overline{1,6} \quad (35)$$

простые. Или, с учетом сказанного ранее, –

$$\lambda_j = \alpha_j + iv_j = \lambda_{mj} = \alpha_{mj} + iv_{mj}. \quad (36)$$

Не исключено, что какие-то из них лежат на мнимой оси, то есть

$$\lambda_k = iv_k, \quad \alpha_k = 0.$$

Общее решение однородного уравнения выражения (32) имеет вид –

$$V_{01}(x) = \sum_{j=1}^6 a_j \exp(\lambda_j x), \quad (37)$$

где  $a_j$  - произвольные постоянные.

Реакция динамической системы (32) на единичный импульс будет такой –

$$g(x) = \sum_{j=1}^6 b_j \exp(\lambda_j x). \quad (38)$$

Функция  $g(x)$  удовлетворяет однородному уравнению выражения (32) и начальным условиям вида –

$$g(0) = g'(0) = g''(0) = g'''(0) = g^{IV}(0) = 0; \quad g^V(0) = 1. \quad (39)$$

Тогда

$$b = \text{colon}(b_1 \quad b_2 \quad b_3 \quad b_4 \quad b_5 \quad b_6) -$$

есть решение следующей системы линейных алгебраически уравнений, аналогичной (12):

$$\begin{vmatrix} 1 & 1 & 1 & 1 & 1 & 1 \\ \lambda_1 & \lambda_2 & \lambda_3 & \lambda_4 & \lambda_5 & \lambda_6 \\ \lambda_1^2 & \lambda_2^2 & \lambda_3^2 & \lambda_4^2 & \lambda_5^2 & \lambda_6^2 \\ \lambda_1^3 & \lambda_2^3 & \lambda_3^3 & \lambda_4^3 & \lambda_5^3 & \lambda_6^3 \\ \lambda_1^4 & \lambda_2^4 & \lambda_3^4 & \lambda_4^4 & \lambda_5^4 & \lambda_6^4 \\ \lambda_1^5 & \lambda_2^5 & \lambda_3^5 & \lambda_4^5 & \lambda_5^5 & \lambda_6^5 \end{vmatrix} \begin{vmatrix} b_1 \\ b_2 \\ b_3 \\ b_4 \\ b_5 \\ b_6 \end{vmatrix} = \begin{vmatrix} 0 \\ 0 \\ 0 \\ 0 \\ 0 \\ 1 \end{vmatrix} \quad (40)$$

Определитель этой системы – определитель Вандермонда. И, поскольку веса чисел  $\lambda_j$  различны, этот определитель не равен нулю. Таким образом, система однозначно разрешима.

Частное решение неоднородного уравнения (32) выглядит так:

$$V_{02}(x) = \sum_{j=1}^6 b_j \exp(\lambda_j x) \int_0^x \exp(-\lambda_j \xi) h(\xi) d\xi, \quad (41)$$

а полное решение запишется в виде –

$$V_0(x) = V_{01}(x) + V_{02}(x) = \sum_{j=1}^6 \exp(\lambda_j x) \left\{ a_j + b_j \int_0^x \exp(-\lambda_j \xi) h(\xi) d\xi \right\}. \quad (42)$$

Решения ищем ограниченные на всей оси  $-\infty < x < +\infty$ , а носитель функции  $h(x)$  есть сегмент  $-L \leq x \leq L$ .

Если корень  $\lambda_j$  находится на мнимой оси, то  $\alpha_j = \text{Re} \lambda_j = 0$ ,  $\lambda_j = iv_j$ . Тогда  $a_j$  оставим произвольным. Если же  $\text{Re} \lambda_j \neq 0$ , то  $a_j$  выбираем следующим образом:

$$a_j = -b_j \int_0^{L \cdot \text{sign} \alpha_j} \exp(-\lambda_j \xi) h(\xi) d\xi. \quad (43)$$

Тогда

$$a_j + b_j \int_0^x \exp(-\lambda_j \xi) h(\xi) d\xi = -b_j \int_x^{L \cdot \text{sign} \alpha_j} \exp(-\lambda_j \xi) h(\xi) d\xi. \quad (44)$$

В результате этого, семейство нужных решений неоднородного уравнения (32) окажется следующим:

$$V_m(x) = \sum_{j=1}^6 \exp(iv_j x) \left\{ a_j + b_j \int_0^x \exp(-iv_j \xi) h(\xi) d\xi \right\} - \sum_{j=1}^6 b_j \exp(\lambda_j x) \cdot b_j \int_x^{L \cdot \text{sign} \alpha_j} \exp(-\lambda_j \xi) h(\xi) d\xi, \quad (45)$$

где  $h(\xi) = h_m(\xi)$ ;  $x \rightarrow +\infty$ ;  $\text{Re} \lambda_j = \alpha_j \neq 0$ .

При этом возможны следующие четыре варианта конструкции формулы (45):

- уравнение (34) имеет три различных отрицательных корня. В этом случае уравнение (33) содержит три различных пары чисто мнимых корней (не равных нулю) комплексно сопряженных. Первая сумма будет включать шесть слагаемых, а вторая – равна нулю;
- уравнение (34) имеет два различных отрицательных корня и один положительный. Тогда уравнение

(33) будет иметь две различные пары чисто мнимых и не равных нулю комплексно сопряженных корней, а два других – вещественные (один положительный, другой отрицательный). В этом случае первая сумма будет содержать четыре слагаемых, вторая – два;

- уравнение (34) имеет один отрицательный корень. Два других его корня различны. Тогда уравнение (33) будет иметь одну пару чисто мнимых, не равных нулю, комплексно-сопряженных корней, а его остальные корни не будут на мнимой оси – два в левой, два в правой полуплоскостях. Первая сумма в этом случае содержит два слагаемых, вторая – четыре;

- уравнение (34) не имеет отрицательных корней. Тогда уравнение (33) не будет иметь чисто мнимых корней, а только три корня в левой и три в правой полуплоскостях. Первая сумма будет отсутствовать, вторая – содержать четыре слагаемых.

Уточним поведение решений (45) вне носителя функции  $h(x)$ , то есть вне окна  $-L \leq x \leq L$ , когда  $h(x) \equiv 0$ .

Если  $L \leq x < +\infty$ , то первая сумма в выражении (45) выглядит следующим образом:

$$\sum_{j=1}^6 (a_j + b_j p_j) \exp(iv_j x);$$

$$p_j = \int_0^{L-x} \exp(-iv_j \xi) h(\xi) d\xi, \quad (46)$$

$$\operatorname{Re} \lambda_j = \alpha_j = 0.$$

В этой сумме столько слагаемых, сколько корней уравнения (33) лежит на мнимой оси. Если таких корней нет, эта сумма отсутствует.

При  $\operatorname{Re} \lambda_j = \alpha_j > 0$  и  $L \leq x < +\infty$

$$\int_x^{L-x} \exp(-\lambda_j \xi) h(\xi) d\xi = - \int_L^x \exp(-\lambda_j \xi) h(\xi) d\xi = 0, \quad (47)$$

где  $\forall x: L < x < +\infty$ , поэтому вторая сумма, если она имеет место в выражении (45), будет вида:

$$\sum_{j=1}^6 b_j c_j \exp(\lambda_j x);$$

$$c_j = \int_{-L}^{L-x} \exp(-\lambda_j \xi) h(\xi) d\xi, \quad (48)$$

$$\operatorname{Re} \lambda_j = \alpha_j = 0$$

и стремиться к нулю при  $x \rightarrow +\infty$  вместе со всеми своими производными по переменной  $x$ .

Таким образом, при  $L < x < +\infty$

$$V_m(x) = \sum_{j=1}^6 (a_j + b_j p_j) \exp(iv_j x) + \sum_{j=1}^6 b_j c_j \exp(\lambda_j x) \quad (49)$$

$$\operatorname{Re} \lambda_j = \alpha_j = 0 \quad \operatorname{Re} \lambda_j = \alpha_j < 0.$$

Аналогично, если  $-\infty < x < -L$ :

$$V_m(x) = \sum_{j=1}^6 (a_j - b_j q_j) \exp(iv_j x) - \sum_{j=1}^6 b_j c_j \exp(\lambda_j x) \quad (50)$$

$$\operatorname{Re} \lambda_j = \alpha_j = 0 \quad \operatorname{Re} \lambda_j = \alpha_j > 0,$$

где  $q_j = \int_{-L}^0 \exp(-iv_j \xi) h(\xi) d\xi$ .

Если в формулах (49) и (50) первая сумма присутствует, то она осциллирует, а вторая – стремится к нулю в первой формуле при  $x \rightarrow +\infty$ , а во второй формуле – при  $x \rightarrow -\infty$  вместе со всеми их производными по переменной  $x$ .

Таким образом, случай отсутствия кратных корней уравнения (34) проанализирован полностью.

---

#### 4. Выводы

---

Полученная аналитическая трактовка упругого взаимодействия подвеса гироскопа с проникающим акустическим излучением позволяет уяснить природу явления, прогнозировать случаи возникновения особенностей резонансного типа, а также выбрать необходимые технические решения для уменьшения влияния дифракционных явлений.

---

#### Литература

1. Ишлинский А.Ю. Ориентация, гироскопы и инерциальная навигация [Текст] / А.Ю. Ишлинский – М.: Наука, 1976. – 671с.
2. Автокомпенсация инструментальных погрешностей гироскопии [Текст]: монография / С.М. Зельдович, М.И. Малгинский, И.М. Окон, Я.Г. Остромухов. – Л.: Судостроение, 1976. – 255с.
3. Мельник В.Н. Об особенностях динамики гироскопа с многофазным подвесом в акустических полях // Космічна наука і технологія, 2002. – Т.8. – №4. – С.49-53.